

FIG. 1

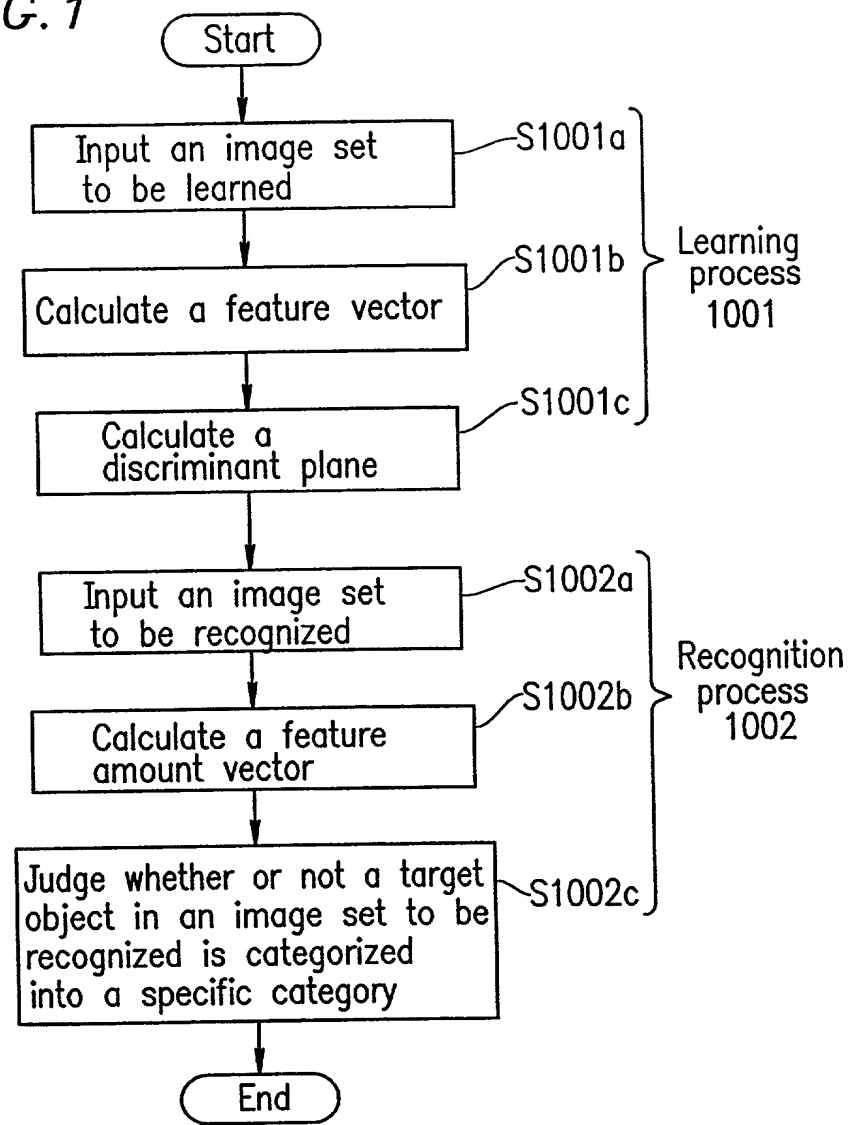


FIG. 2A

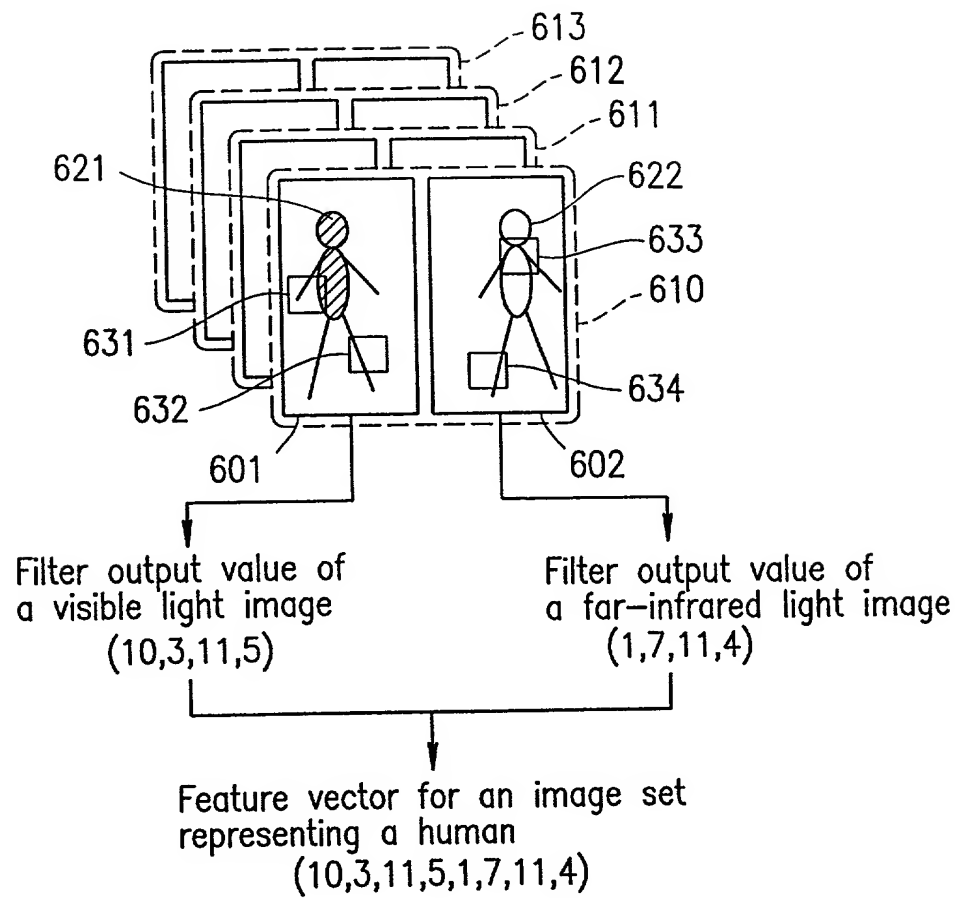


FIG. 2B

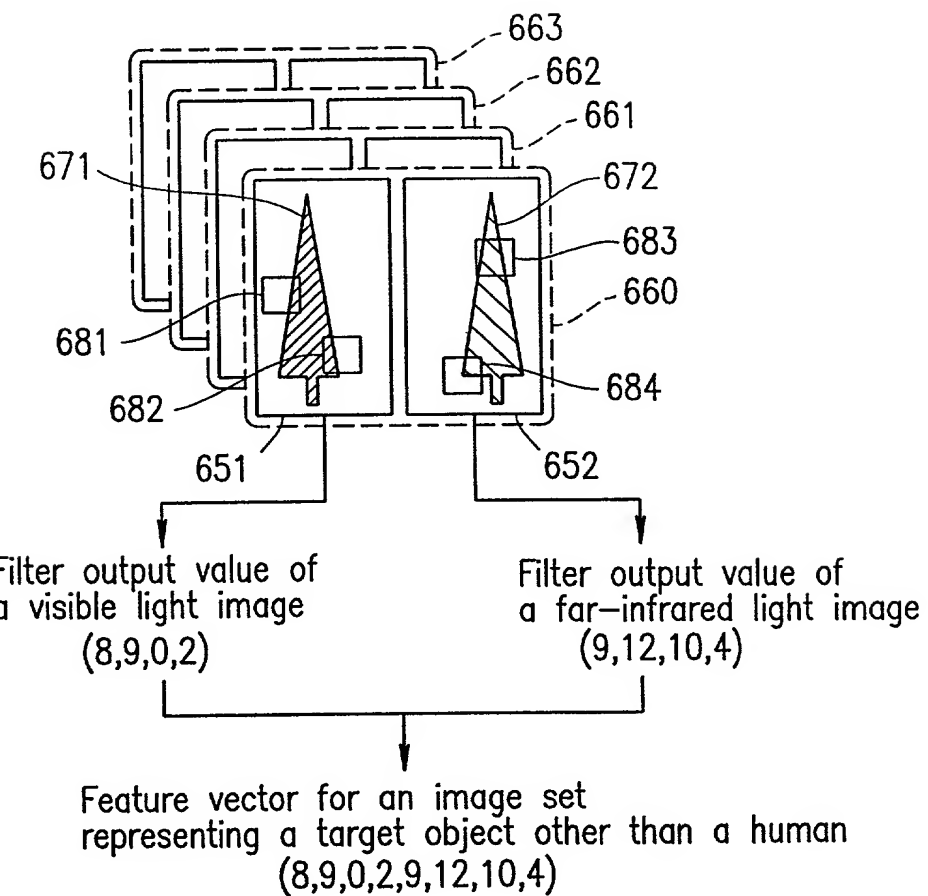
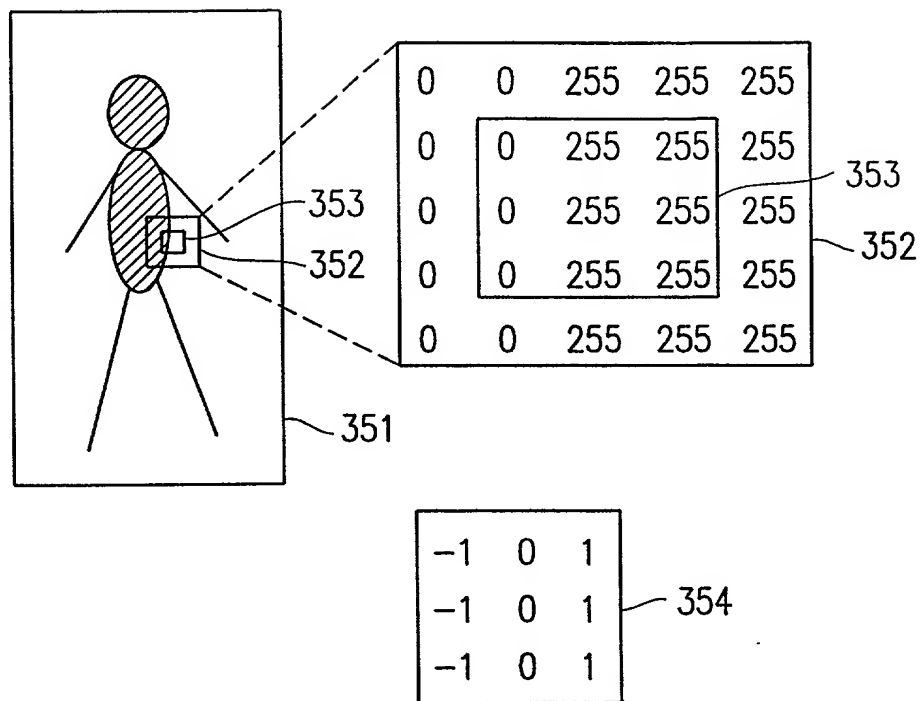


FIG. 3



Filter output value  $= (-1) \cdot 0 + (-1) \cdot 0 + (-1) \cdot 0 + 0 \cdot 255 + 0 \cdot 255 + 0 \cdot 255 + 1 \cdot 255 + 1 \cdot 255 + 1 \cdot 255 = 765$

FIG. 4

Feature dimension 2

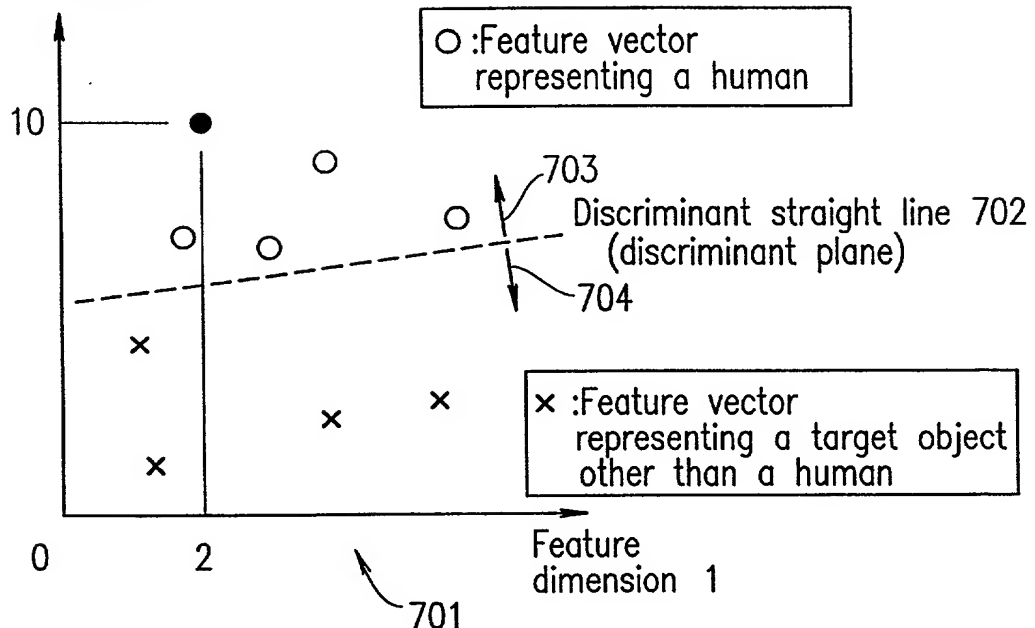


FIG. 5

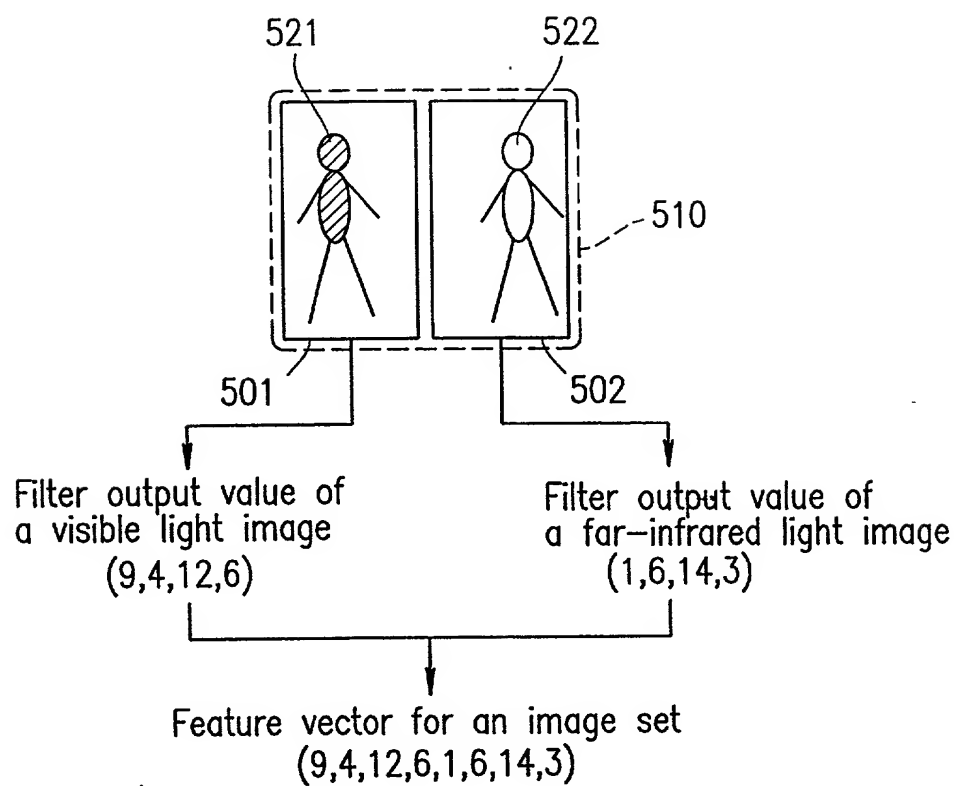
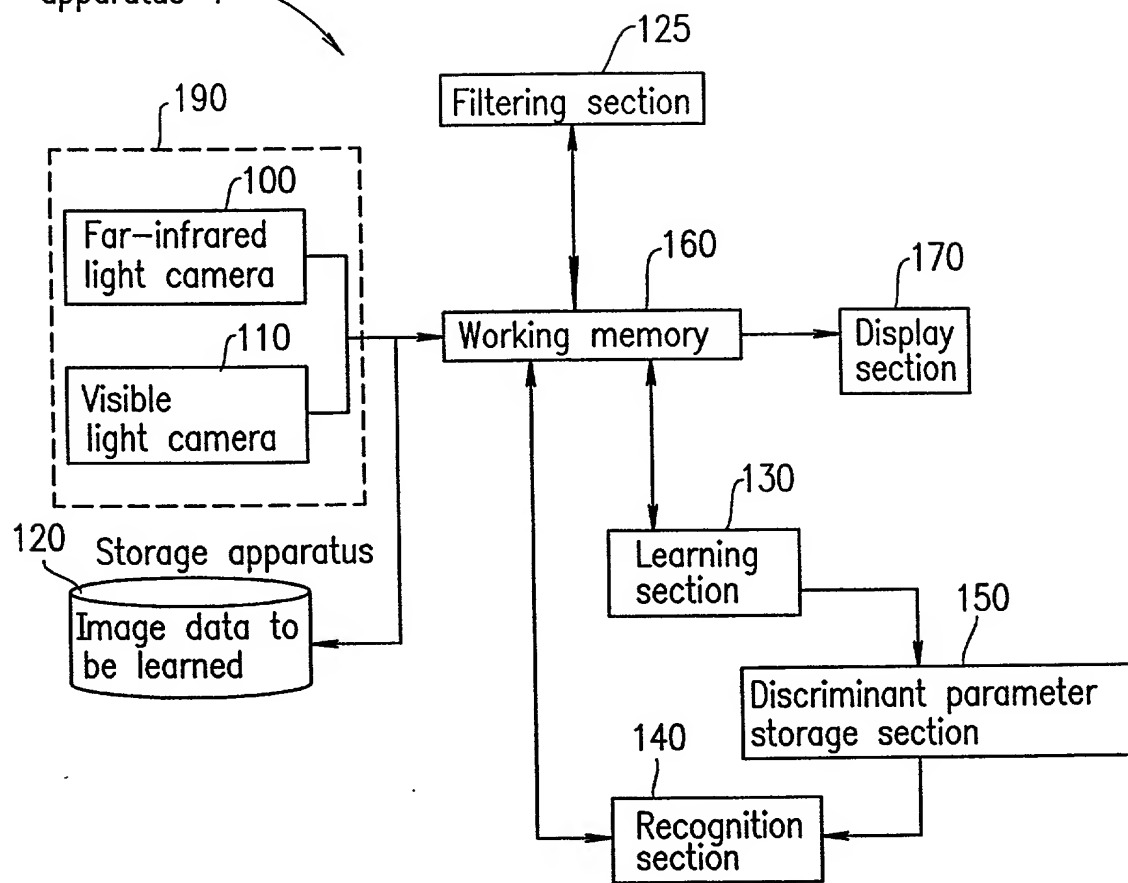
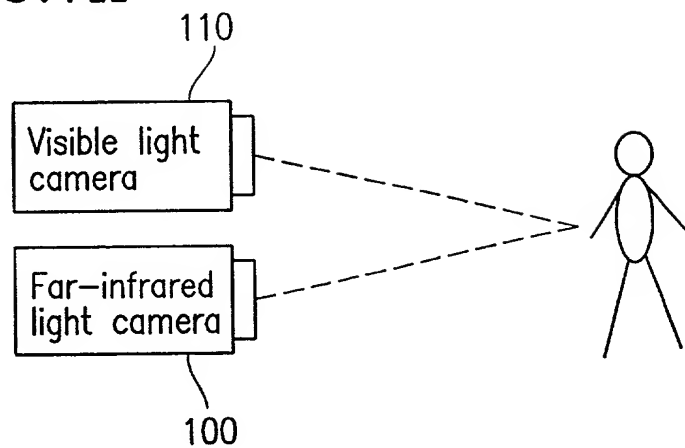
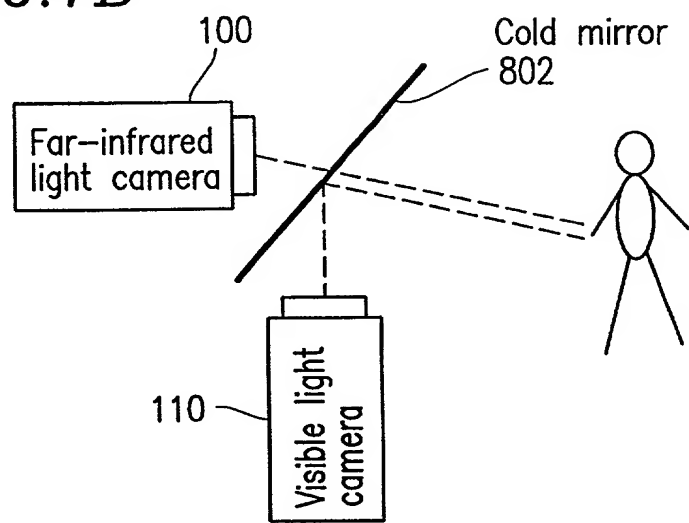
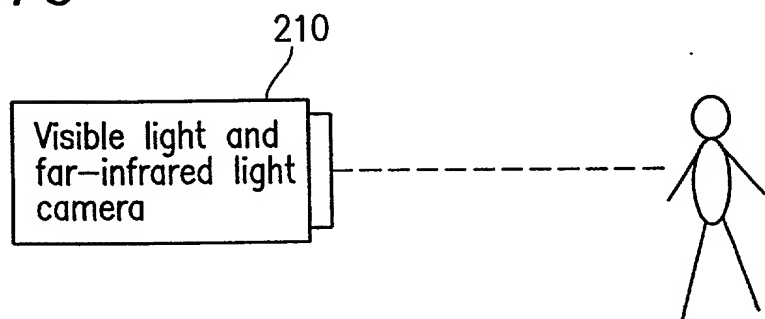


FIG. 6

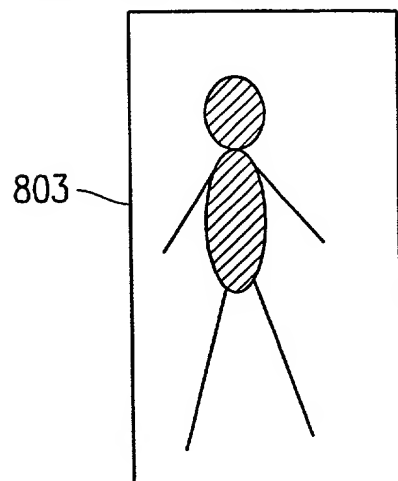
Object recognition apparatus 1



**FIG. 7A****FIG. 7B****FIG. 7C**

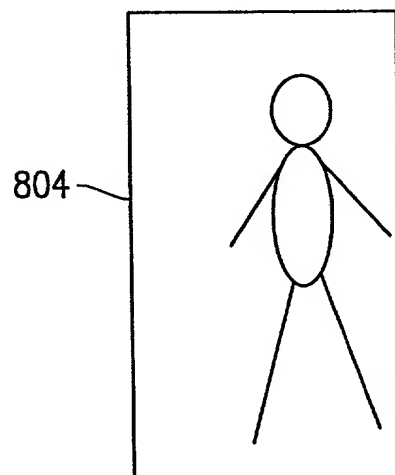
*FIG. 8A*

Visible light image



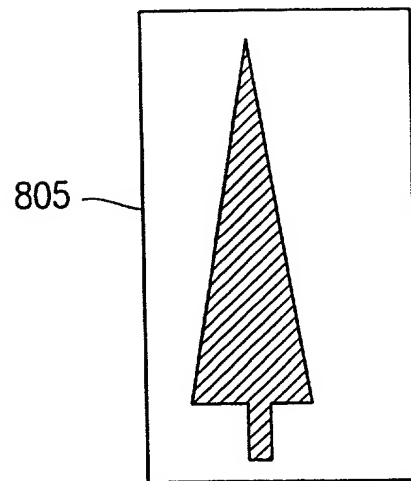
*FIG. 8B*

Far-infrared light image



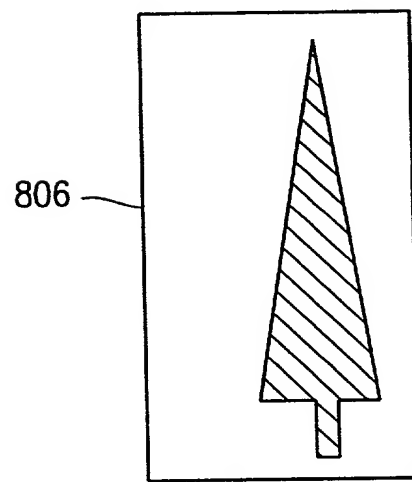
*FIG. 9A*

Visible light image

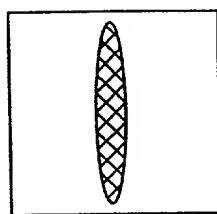


*FIG. 9B*

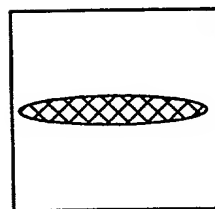
Far-infrared light image



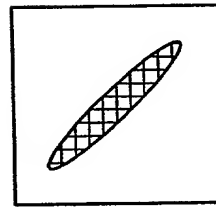
*FIG. 10A*



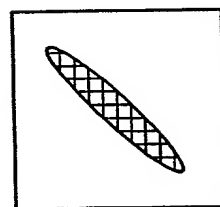
*FIG. 10B*



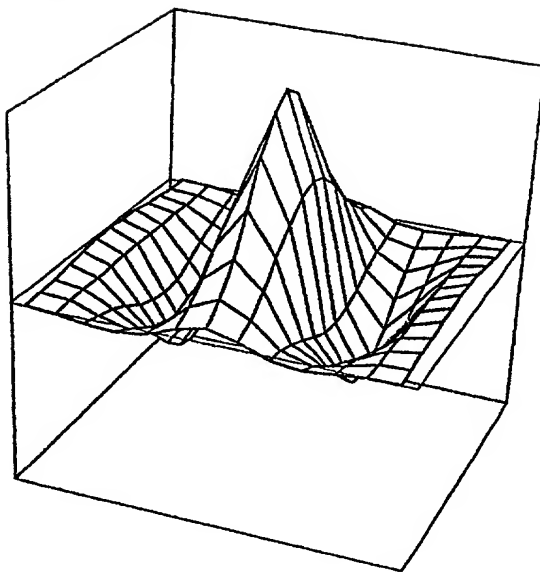
*FIG. 10C*



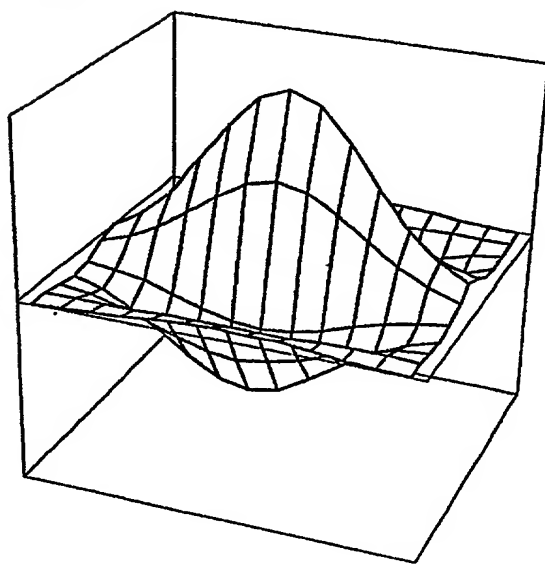
*FIG. 10D*



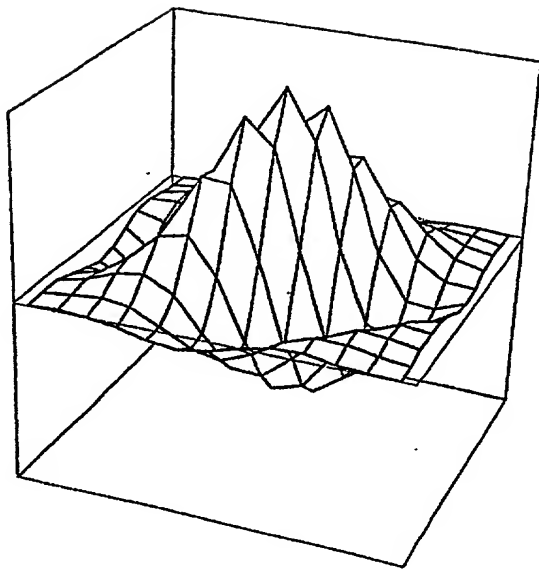
*FIG. 11A*



*FIG. 11B*



*FIG. 11C*



*FIG. 11D*

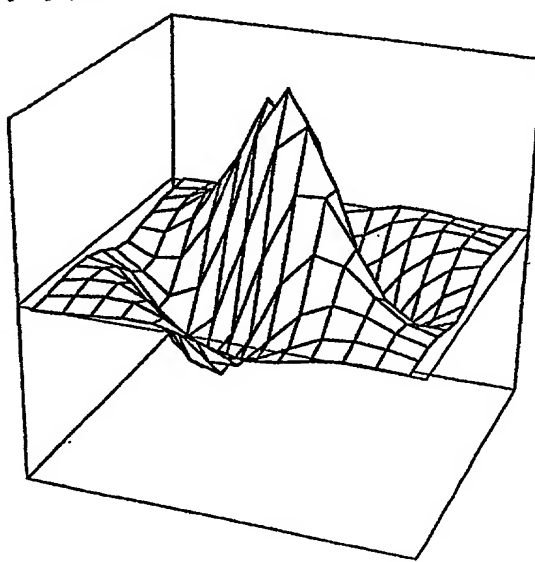


FIG. 12

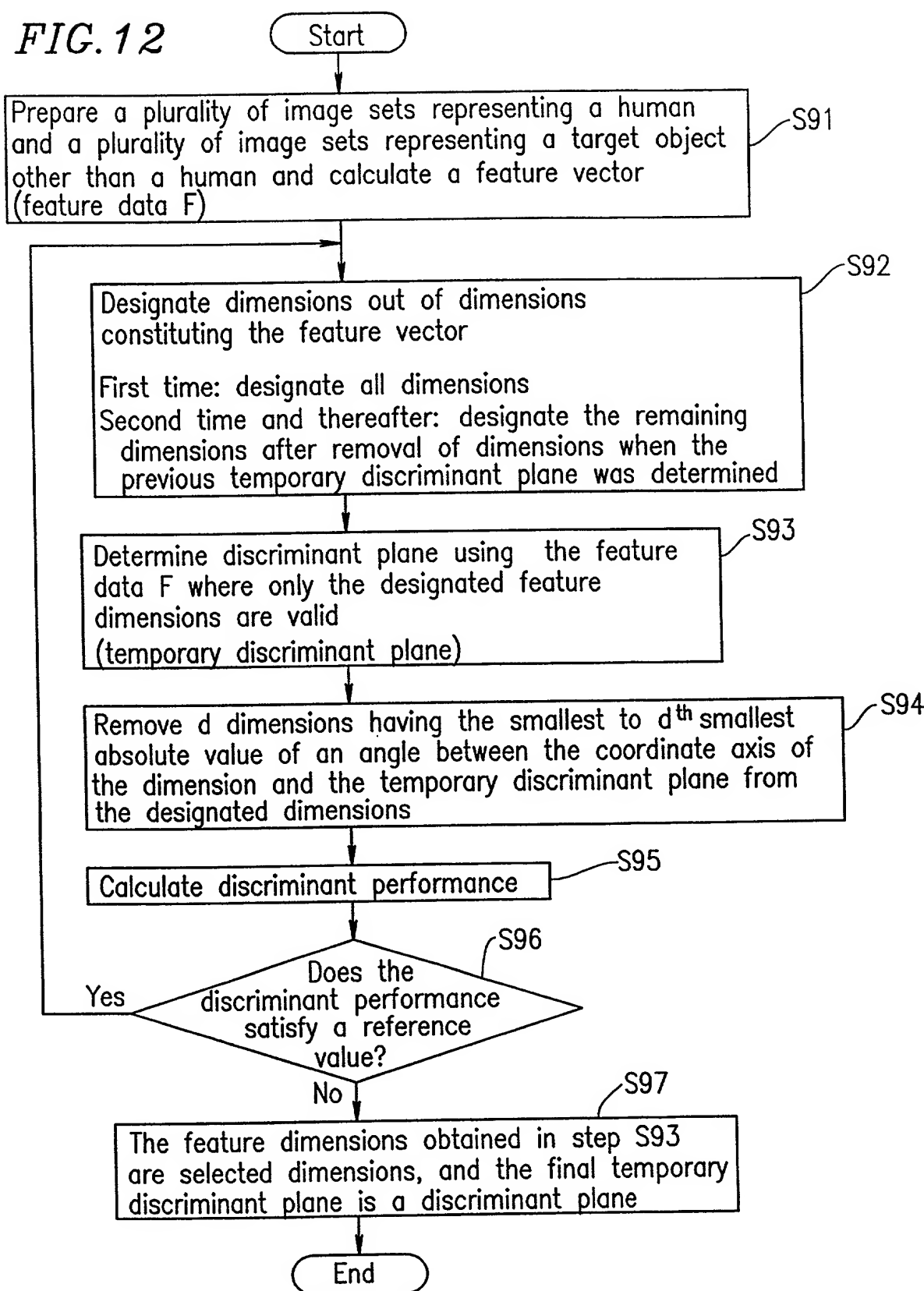


FIG. 13A

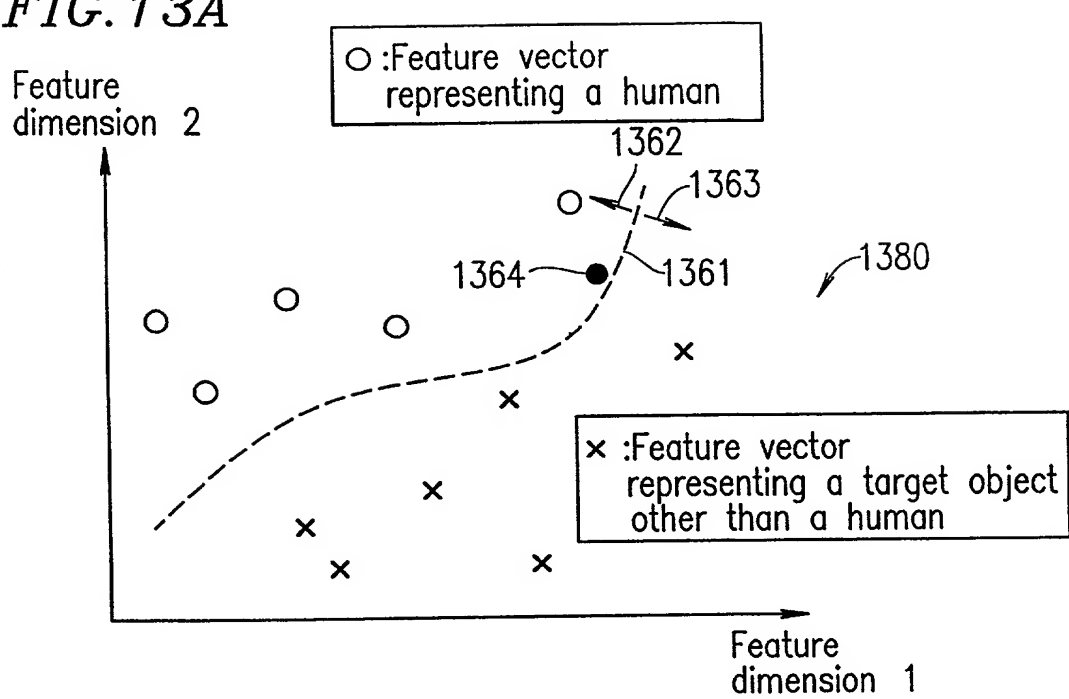


FIG. 13B

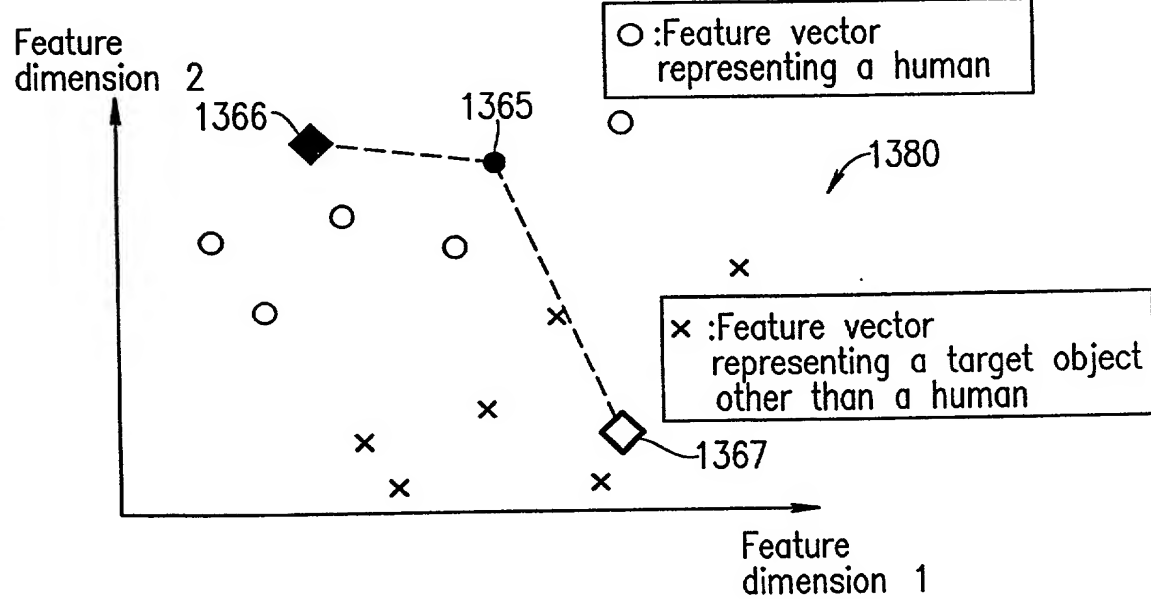


FIG. 13C

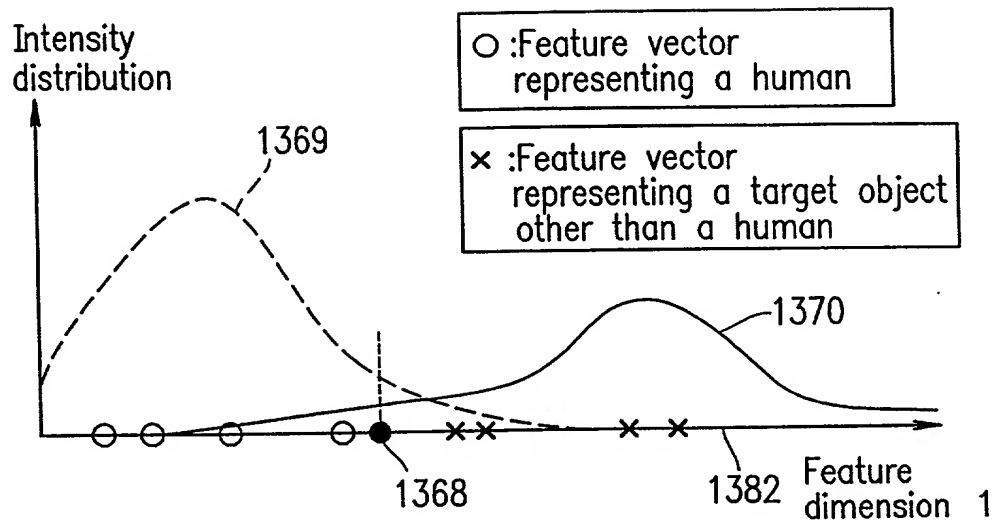


FIG. 14

Discriminant performance

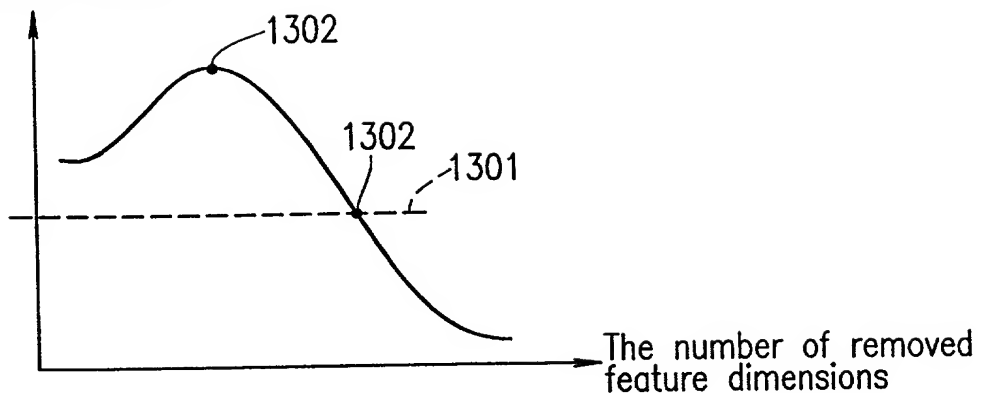
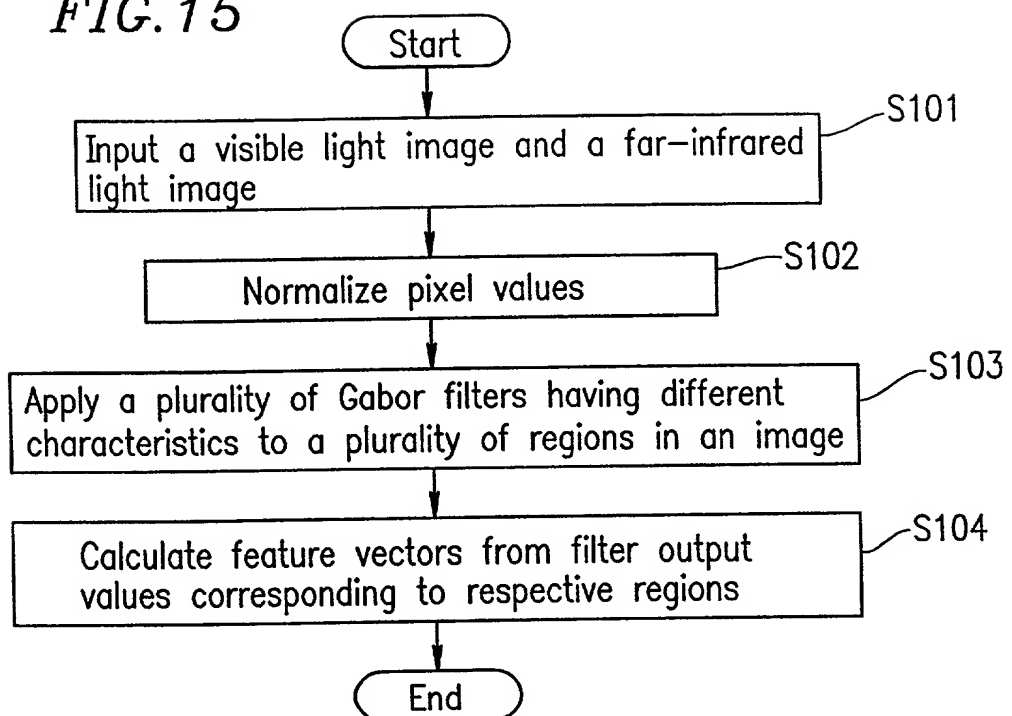


FIG. 15



*FIG. 16*

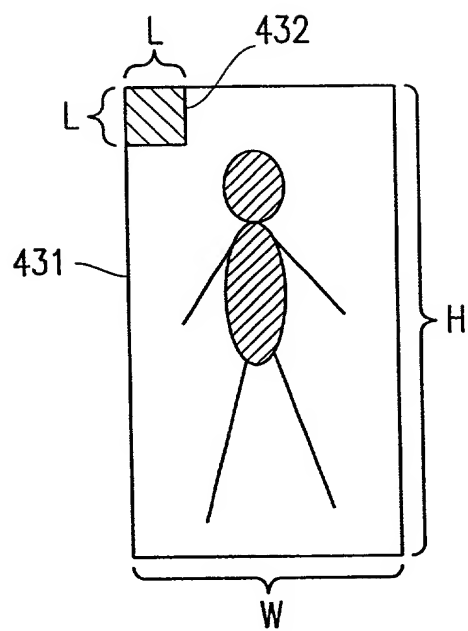


FIG. 17

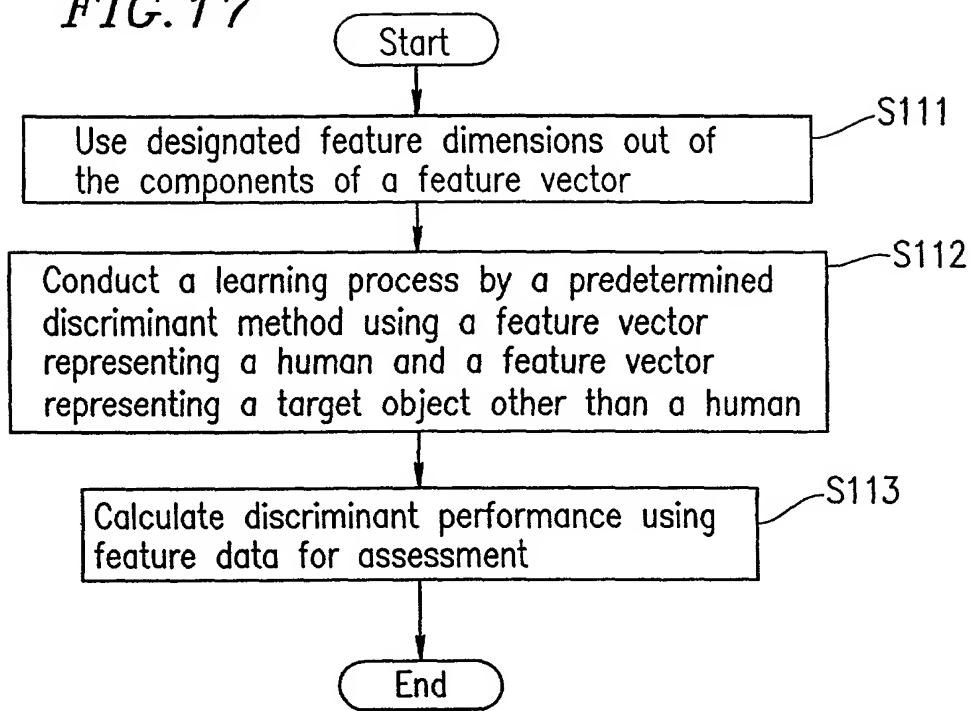


FIG. 18

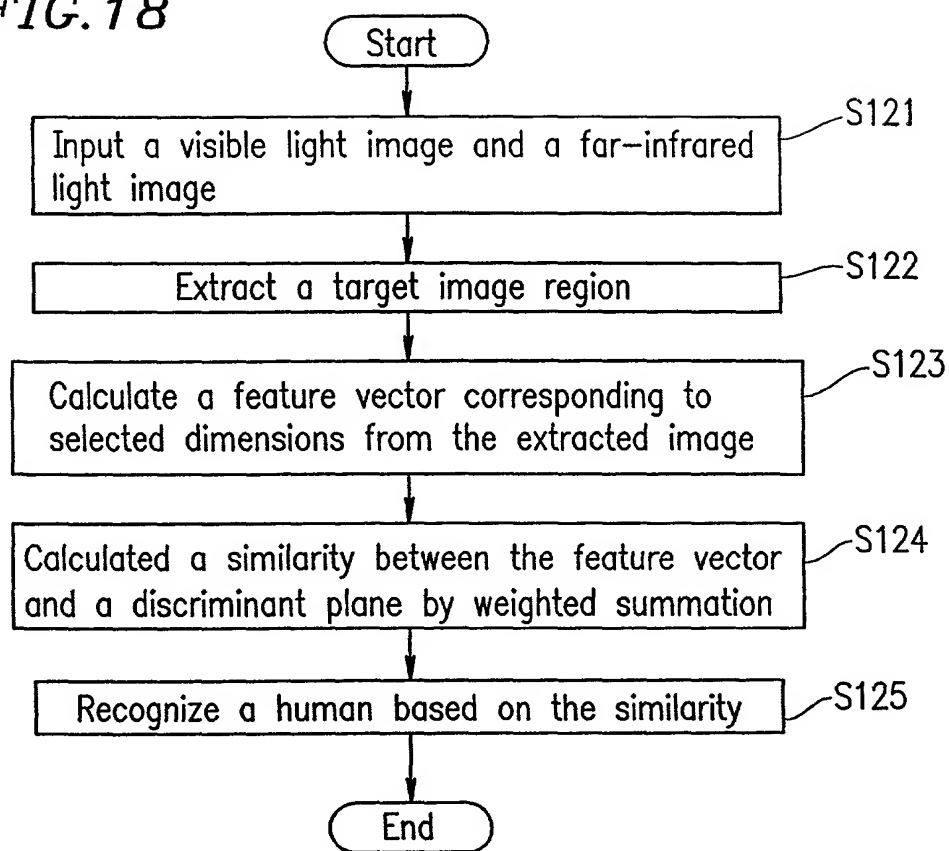


FIG. 19

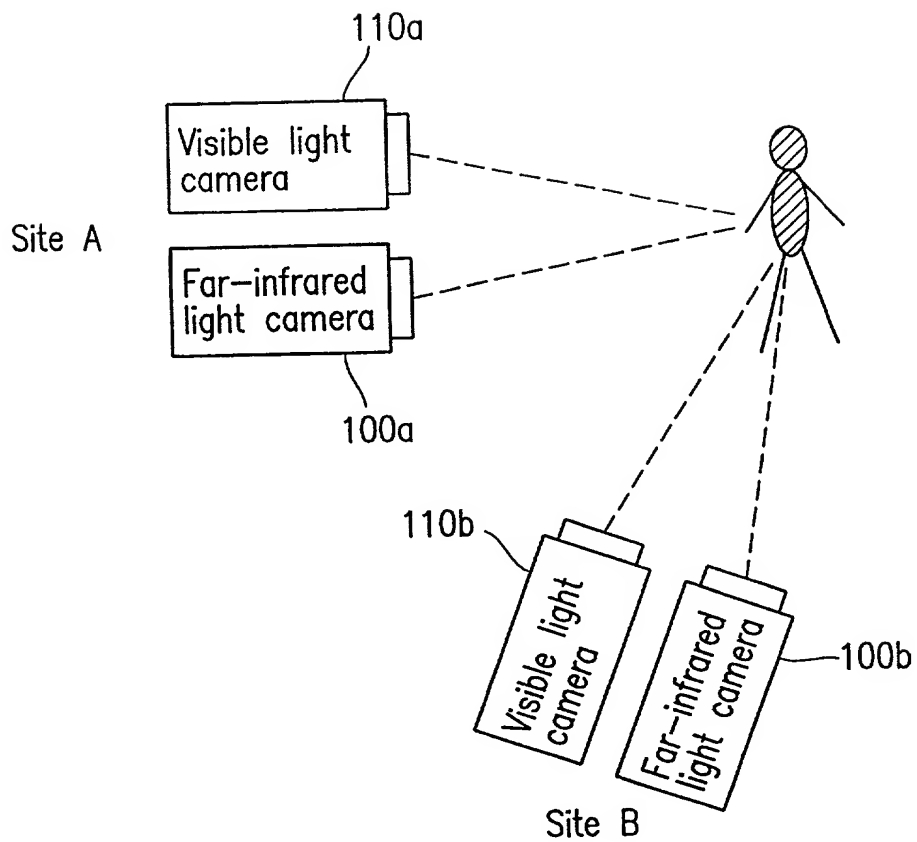


FIG. 20

